

## ◆ 腹部影像学

## High frequency ultrasound in diagnosis of children with primary intestinal lymphangiectasia

ZHANG Jie, CHEN Wenjuan\*, LI Hao, LIU Lingping, DUAN Xingxing

(Department of Ultrasound, Hunan Children's Hospital, Changsha 410007, China)

**[Abstract]** **Objective** To explore the diagnostic value of high-frequency ultrasound in children with primary intestinal lymphangiectasia (PIL). **Methods** Totally 20 children with clinically diagnosed PIL were retrospectively analyzed. All 20 children underwent abdominal high-frequency ultrasound, 13 of them underwent pathologic examinations. The accuracy, sensitivity, specificity, positive predictive value and negative predictive value of ultrasound in diagnosis of PIL were calculated. **Results** The accuracy, sensitivity, specificity, positive predictive value and negative predictive value of high-frequency ultrasound in diagnosis of PIL was 80.00% (16/20), 92.31% (12/13), 57.14% (4/7), 80.00% (12/15) and 80.00% (4/5), respectively. **Conclusion** High frequency ultrasound can accurately detect PIL from children with thickened intestinal wall.

**[Keywords]** lymphangiectasis, intestinal; child; ultrasonography

**DOI:** 10.13929/j.issn.1003-3289.2020.03.027

## 高频超声诊断小儿原发性小肠淋巴管扩张症

张杰,陈文娟\*,李皓,刘凌萍,段星星

(湖南省儿童医院超声科,湖南长沙 410007)

**[摘要]** 目的 探讨高频超声诊断小儿原发性小肠淋巴管扩张症(PIL)的价值。方法 回顾性分析20例临床诊断PIL患儿,均接受腹部高频超声检查,13例并接受组织病理学检查,计算超声诊断PIL的准确率、敏感度、特异度、阳性预测值和阴性预测值。结果 高频超声诊断PIL的准确率、敏感度、特异度、阳性预测值和阴性预测值分别为80.00%(16/20)、92.31%(12/13)、57.14%(4/7)、80.00%(12/15)和80.00%(4/5)。结论 高频超声可较准确地在肠壁增厚患儿中筛查出PIL。

**[关键词]** 淋巴管扩张,肠; 儿童; 超声检查

**[中图分类号]** R551.2; R445.1 **[文献标识码]** A **[文章编号]** 1003-3289(2020)03-0425-04

小肠淋巴管扩张症是一种少见的蛋白丢失性肠病<sup>[1]</sup>,病因不明,可分为原发性和继发性。原发性小肠淋巴管扩张症(primary intestinal lymphangiectasia,PIL)又称Waldmann病,与淋巴管先天性紊乱有关<sup>[2]</sup>。继发性小肠淋巴管扩张症可继发于感染、缩窄性心包炎、淋巴瘤、结节病、腹部外伤及手术损伤等使淋巴管狭窄、受压或回流不畅疾病<sup>[3]</sup>。PIL病程较长,且发病隐匿,临床表现多样<sup>[4]</sup>,长期蛋白质吸收不良和丢失导致患儿营养不良、免疫功能低下、发育迟缓,使

早期诊断尤为重要。肠活检是诊断PIL的金标准<sup>[5]</sup>,而相关非侵袭性影像学研究甚少。本研究观察高频超声诊断小儿PIL的价值。

### 1 资料与方法

1.1 一般资料 回顾性分析2012年1月—2018年10月湖南省儿童医院收治的20例临床诊断PIL患儿,男8例,女12例;年龄21天~16岁,中位年龄6岁;8例慢性腹泻,6例腹胀伴双下肢间断性水肿,4例腹泻、腹胀,1例腹胀、呕吐,1例腹胀伴阴囊水肿。

**[第一作者]** 张杰(1984—),女,湖南湘常人,硕士,主治医师。研究方向:小儿超声。E-mail: zhangjiekisheng888@126.com

**[通信作者]** 陈文娟,湖南省儿童医院超声科,410007。E-mail: 270615734@qq.com

**[收稿日期]** 2019-07-17

**[修回日期]** 2019-10-03

**1.2 仪器与方法** 采用 Philips iU EIte(线阵探头, 频率 5~12 MHz)、Philips EPIQ7C(线阵探头, 频率 3~12 MHz)超声诊断仪, 以适当速度量程(0.5 cm/s)、适当壁滤波观察肠壁血流信号, 彩色取样框高 1 cm, 宽 3~4 cm, 常规扫查腹部肠道及腹腔, 发现异常时进行局部重点扫查。观察内容:①有无增厚肠壁, 呈均匀性或非均匀性, CDFI 增厚肠壁上有无血流信号;②增厚肠壁层次结构是否清晰, 肠壁回声减低或增强;③增厚肠壁有无大小不等的无回声区, CDFI 无回声区内有无血流信号;④有无肠系膜增厚, 增厚肠系膜回声有无增强或减弱;⑤增厚肠系膜上有无大小不等的无回声区, CDFI 无回声区内有无血流信号;⑥有无腹腔积液(仰卧位腹腔积液于最深处<4 cm 为少量腹腔积液;肝肾隐窝显示无回声区为中量腹腔积液;腹腔积液最深处 8~10 cm 为大量腹腔积液<sup>[6]</sup>);⑦有无肠管扩张及肠蠕动减弱。

**1.3 随访** 对 12 例患儿进行半年随访, 间隔时间为 3 个月。

## 2 结果

**2.1 PIL 临床表现及高频超声诊断效能** 本组 20 例临床拟诊 PIL 患儿, 主诉多为慢性腹泻、腹胀、水肿, 肝功能转氨酶均正常, 淋巴细胞比值均减低(0.10±0.02), 均伴有低白蛋白血症[(23.53±3.56) g/L]及腹腔积液。其中 18 例接受内镜组织活检, 2 例接受手术切除及术后病理检查。病理确诊 13 例 PIL, 男 6 例, 女 7 例。高频超声诊断 15 例 PIL, 正确诊断 12 例, 误诊 3 例, 漏诊 1 例; 高频超声诊断 PIL 的准确率 80.00% (16/20), 敏感度 92.31% (12/13), 特异度 57.14% (4/7), 阳性预测值 80.00% (12/15), 阴性预测值 80.00% (4/5)。

**2.2 高频超声表现** PIL 患儿均有广泛性肠壁均匀增厚, 呈“晕圈”征(图 1A), 增厚肠壁回声增强, 肠壁层次不清晰; 8 例增厚肠壁上可见大小不等的无回声区(图 2); 4 例伴有肠系膜增厚, 增厚的系膜上可见大小不等的无回声区(图 3)。CDFI 显示增厚肠壁及肠系膜上点条状血流信号,

无回声区内未见明显血流信号(图 3)。3 例大量腹腔积液, 8 例中量腹腔积液, 1 例少量腹腔积液。1 例外肠壁、肠系膜增厚外, 肠系膜上动静脉起始部见漩涡样改变, 高频超声诊断为肠旋转不良, 手术及病理确诊 PIL 并肠旋转不良。高频超声误诊 3 例, 1 例高频超声示节段性肠壁增厚, 回声增强, 肠腔小, 肠镜活检为克罗恩病; 1 例高频超声示肠壁增厚, 回声增强, 未见明显肠腔, 肠蠕动差, 肠间可见多处低回声区, 病理诊断肠结核。1 例高频超声示广泛性肠壁增厚, 增厚肠壁回声增强, CDFI 增厚肠壁未见明显血流信号, 病理显示肠腔大量果冻状异物。

**2.3 治疗效果和随访** 13 例确诊患儿均收入消化营养科, 接受系统性规范治疗。治疗过程中 1 例死亡, 12 例接受随访, 期间 3 例失访, 5 例临床症状治愈, 无肠壁增厚, 腹腔积液消失, 3 例临床症状稍缓解, 仍有肠壁或肠系膜稍增厚, 部分肠壁或肠系膜上可见大小不等无回声区, 伴少量腹腔积液(图 1B)。

## 3 讨论

PIL 相对罕见, 通常表现为间歇性腹泻或营养不良<sup>[7-9]</sup>, 可通过肠镜、多点活检诊断, 以黏膜、黏膜下和浆膜下淋巴管局灶性或弥漫性扩张为特征<sup>[7]</sup>。本组 20 例中, 11 例经内镜组织活检确诊, 2 例经手术切除及术后病理检查确诊。

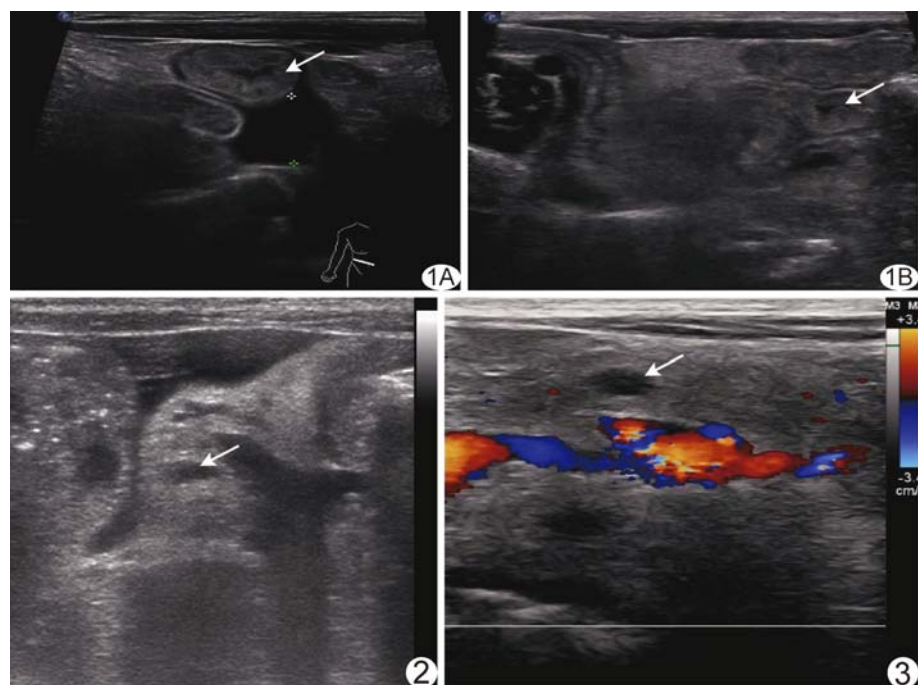


图 1 患儿女, 8岁9个月, PIL A. 肠壁增厚, 呈“晕圈”征(箭), 伴大量腹腔积液; B. 3个月后复查, 部分肠壁稍厚(箭), 少量腹腔积液

图 2 患儿女, 3岁, PIL, 增厚肠壁可见无回声区(箭)

文献<sup>[5]</sup>报道,在儿童和青少年时期,PIL通常表现为小肠淋巴管扩张,要临床表现为水肿、低蛋白血症、腹泻和淋巴细胞减少。个案<sup>[10]</sup>报道CT提示肠壁增厚和包裹性积液。本组病例高频超声显示广泛肠壁均匀性增厚,呈“晕圈”征,增厚肠壁回声增强,肠壁层次不清晰,CDFI可见点状血流信号;病理显示增厚肠壁黏膜下层水肿,黏膜下淋巴管增生,小灶黏膜糜烂,黏膜内可见少量炎症细胞浸润,与叶珊等<sup>[11]</sup>的报道一致。高频超声示增厚部分肠壁上可见大小不等的无回声区,CDFI无回声区内未见明显血流信号,病理示增厚肠壁黏膜层可见扩张的淋巴管结构,提示高频超声显示增厚肠壁上无回声区与扩张的淋巴管有关。本组4例除广泛性肠壁均匀性增厚外,伴有肠系膜增厚,回声增强及增厚的肠系膜上可见大小不等的无回声区,CDFI增厚的肠系膜上可见点状彩色血流,无回声区内未见明显彩色血流;其中2例接受手术治疗,术后病理示增厚的肠系膜可见淋巴管增生及扩张,提示超声显示增厚肠系膜内无回声区与淋巴管扩张有关。手术病例之一为21天男性患儿,因腹胀、阴囊水肿入院,高频超声除示肠壁增厚、肠管扩张、肠蠕动差、中量腹腔积液,提示肠梗阻声像改变外,还发现肠系膜增厚,肠系膜上动静脉起始部呈漩涡征样改变,术中见肠系膜上动静脉走行异常,术后病理示增厚的肠壁及肠系膜黏膜层内可见散在扩张的淋巴管,提示PIL伴肠系膜血管发育异常。另一手术病例为3岁女性患儿,因腹胀、呕吐入院,高频超声示广泛性肠壁增厚、回声增强,肠管扩张,肠蠕动差,肠系膜增厚,回声增强,增厚肠系膜上可见大小不等的低无回声区;行分段小肠切除术,术后病理示淋巴管扩张,主要局限于肠壁浆膜下层和肠系膜,而肠壁黏膜层不明显,与KIM等<sup>[12]</sup>报道一致。本研究提示,PIL的病变淋巴管可位于肠壁浆膜下、黏膜下层、黏膜层及肠系膜。

本组高频超声误诊3例病例,均有肠壁增厚、回声增强,层次结构不清,伴不同程度腹腔积液,病理诊断分别为克罗恩病、肠结核及肠腔内果冻状异物,提示PIL需与克罗恩病、肠结核及异物鉴别。肠壁节段性增厚≥4 mm,回声不均匀,壁表面不光滑,呈波浪样改变,增厚肠壁内可见活跃的血流信号时,需考虑克罗恩病<sup>[13]</sup>。于天琢等<sup>[14]</sup>提出,若肠壁不均匀性回声增强,肠间多处低无回声区,CDFI下肠间低无回声区内无血流信号,需结合结核菌素试验排除肠结核。若肠壁均匀性增厚,且CDFI无血流信号时,需追问病史,排除肠腔果冻状或膜状异物可能。PIL还需与以下疾病相鉴别:①腹型过敏性紫癜,肠壁对称性、均匀性、节段性增厚,回声增强,

CDFI下可见丰富的血流信号<sup>[15]</sup>,结合临床表现可加以鉴别;②肠壁淋巴瘤,超声示肠壁不对称性增厚,回声极低,CDFI下极低回声肠壁有丰富血流信号<sup>[16]</sup>。

本组PIL均伴不同程度低白蛋白血症、腹腔积液及淋巴细胞比值减少,但肝功能正常,提示低蛋白血症与肝功能合成蛋白减低无明显相关;病理均见淋巴管扩张,淋巴管系统异常导致淋巴回流、转运蛋白质功能异常,当淋巴回流不畅时,管内压力升高,瓣膜功能受损,淋巴液外渗,使大量蛋白质丢失而出现低蛋白血症;淋巴细胞丢失而使淋巴细胞比值减少,免疫细胞数减少,免疫系统功能减低。研究<sup>[16]</sup>报道,PIL可能伴有免疫缺陷。本组1例因免疫功能低下反复感染导致死亡。

综上所述,PIL高频超声表现有一定特征性,高频超声诊断PIL准确率、敏感度、阳性预测值均高。PIL累及肠道较为罕见,早期诊断可提高生存率、延缓疾病进展过程。发现患儿低蛋白血症、水肿、腹泻、淋巴细胞减少,同时伴以上高频超声改变时,需要考虑或者排除PIL。

## 〔参考文献〕

- [1] WANG X, JIN H, WU W. Primary intestinal lymphangiectasia manifested as unusual edemas and effusions: A case report [J]. Medicine, 2016, 95(10):1-3.
- [2] BORZUTZKY A, ESPINO A, ALBERTI G, et al. Primary intestinal lymphangiectasia (Waldmann's disease) [J]. Am J Gastroenterol, 2019, 114(2):197.
- [3] TANG Q Y, WEN J, WU J, et al. Clinical outcome of nutrition-oriented intervention for primary intestinal lymphangiectasia [J]. World J Pediatr, 2011, 7(1):79-82.
- [4] ISAH M, AL-ARAYEDH G G, MOHAMED A M. Intestinal lymphangiectasia in children. A favorable response to dietary modifications [J]. Saudi Med J, 2016, 37(2):199-204.
- [5] MARTINS C, GAGNAIRE A, ROSTAIN F, et al. Waldmann's disease: A rare cause of protein losing enteropathy in an adult patient [J]. Rev Esp Enferm Dig, 2017, 109(5):385-388.
- [6] 张杰,陈文娟,孟慧娴,等.儿童郎格罕细胞组织细胞增生症腹部超声表现[J].中国医学影像技术,2018,34(6):884-887.
- [7] LAI Y, YU T, QIAO X Y, et al. Primary intestinal lymphangiectasia diagnosed by double-balloon enteroscopy and treated by medium-chain triglycerides: A case report [J]. J Med Case Rep, 2013, 19(7):1-5.
- [8] RASHMI M V, NIRANJANA MURTHY B, RANI H, et al. Intestinal lymphangiectasia—a report of two cases [J]. Indian J Surg, 2010, 7(2):149-151.
- [9] VIGNES S, BELLANGER J. Primary intestinal lymphangiectasia (Waldmann's disease) [J]. Orphanet J Rare Dis, 2008, 3:1-8.
- [10] HASHEMI J, FARHOODI M, FARROKH D, et al. Congenital Intestinal Lymphangiectasia: Report of a case [J]. Iran J Radiol, 2008, 5(6):189-193.

- [11] 叶珊,詹学.原发性小肠淋巴管扩张症的研究进展[J].中华临床医师杂志,2016,10(11):1613-1616.
- [12] KIM N R, LEE S K, SUH L. Primary intestinal lymphangiectasia successfully treated by segmental resections of small bowel[J]. J Pediatr Surg, 2009, 44(10):e13-17.
- [13] 魏淑萍,杨斌,徐超丽,等.常规超声检查及超声造影在克罗恩病诊断中的应用价值[J].中华医学超声杂志,2016,13(6):406-410.
- [14] 于天琢,杨高怡,张莹,等.肠结核常规超声及超声造影表现分析[J].中国超声医学杂志,2015,31(7):667-669.
- [15] 胡原,何静波,陈文娟.高频超声和彩色多普勒超声在诊断腹型过敏性紫癜中的价值[J].中国超声诊断杂志,2006,7(4):269-271.
- [16] 闫玉玺,刘庆华,刘小芳,等.小儿继发性肠套叠超声表现[J].中国医学影像技术,2019,35(1):91-94.

## Prenatal ultrasonic diagnosis of head navel conjoined twins: Case report 产前超声诊断头脐联体双胎 1 例

马 斌<sup>1</sup>,李小英<sup>2</sup>,王艺璇<sup>1</sup>,李天刚<sup>1</sup>

(1. 甘肃省妇幼保健院功能检查科,甘肃 兰州 730050;2. 陇西县妇幼保健院超声科,甘肃 定西 748100)

**[Keywords]** head navel conjoined; pregnancy, twin; ultrasonography, prenatal

**[关键词]** 头脐联体;妊娠,双胎;超声检查,产前

**DOI:**10.13929/j.issn.1003-3289.2020.03.028

**[中图分类号]** R714.2; R445.1 **[文献标识码]** B **[文章编号]** 1003-3289(2020)03-0428-01

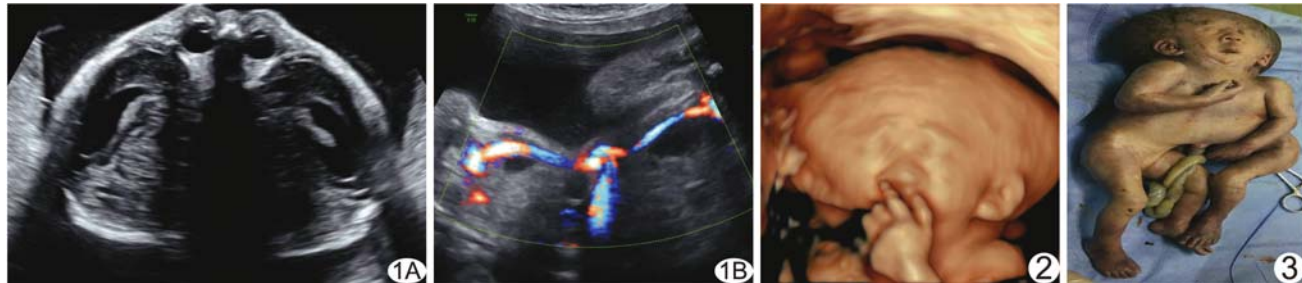


图1 产前超声 A. 声像图示双侧胎儿头颅部分融合,侧脑室增宽,可见2只眼睛; B. 两胎儿腹部融合,CDFI于膀胱两侧仅见1支脐动脉,脐血管由共同脐部发出      图2 三维表面成像图      图3 引产后标本

孕妇23岁,孕1产0,孕早期未接受产前超声检查。孕29周超声检查发现2个胎儿,自头部至脐部广泛相连,脐以下各具独立结构;1个共同头颅内见4个侧脑室及4个脉络丛,双胎侧脑室增宽约15 mm;共探及4个耳朵,位置较低,颜面部见2只眼睛,1个鼻子,1张嘴(图1A),三维超声清晰显示头颅形态及颜面部(图2);1个躯干,胎儿双脊柱面对面排列,4个上肢,4个下肢,两胎儿双手、双足均可见;共用1个心脏、1个胃泡及1个肝脏,膈肌回声连续性中断,胃泡回声位于胸腔内,心脏为单心房单心室结构,受压略移位;下腹部及盆腔内可见4个肾脏及2个膀胱回声;脐血管由共同脐部发出,双胎均为单脐动脉(图1B),脐血管内可见4支血管(2支脐动脉和2支脐静脉);仅探及1个胎盘回声,羊膜囊内未探及羊膜分隔。超声提示:宫内头脐联体双胎并多发畸形。之后孕妇接受引产,证实产前超声诊断(图3)。

**讨论** 联体双胎是单绒毛膜双胎中的罕见畸形,发生率为1/10万~2/10万,针对其发病机制主要有分裂理论及融合理论两种学说。根据胎儿身体融合范围及部位,联体双胎分为对称性联体和不对称性联体;前者相对常见,表现为胸部联胎、脐部联胎和臀部联胎,头部及脊柱联胎少见;对于联体范围较大者可通过复合语来反映介于两种之间的类型,如本例命名为头脐联胎。产前超声可直接显示绒毛膜羊膜类型及羊膜腔内胎儿数目,多切面动态观察联体双胎融合部位、类型及范围。彩色多普勒超声可明确胎儿有无合并心血管畸形及脐血管数目;三维超声可提供双胎身体联体范围及外观的立体特征。本例孕早期未接受任何产前超声检查,致孕29周才发现严重联体双胎并多发畸形。孕早期明确诊断联体双胎并及时采取干预措施,有助于减轻孕妇身心损伤。

**[第一作者]** 马斌(1984—),男,甘肃平凉人,硕士,主治医师。E-mail: 153873545@qq.com

**[收稿日期]** 2019-05-26    **[修回日期]** 2020-01-09